

بررسی عددی توربین بادی داریوس در کنار یک بزرگراه یک طرفه* مقاله پژوهشی

صادق تودرباری^(۱) محمدجواد مغربی^(۲)

چکیده استفاده از انرژی‌های تجدیدپذیر مانند انرژی‌های بادی و خورشیدی به یکی از موضوعات مهم و پرتکرار در میان محققان تبدیل شده است. از این رو تحقیقات فراوانی بر روی بهینه‌سازی وسایلی از جمله توربین‌های بادی و استفاده از آن‌ها در مناطقی که ظرفیت بهره‌برداری از انرژی‌های تجدیدپذیر را دارند، انجام شده است. در این مطالعه به امکان‌سنجی قرارگیری توربین بادی داریوس چهارپره در بزرگراه یک طرفه پرداخته شده است. این شبیه‌سازی با کمک مدل‌سازی دویعدی و گذرا در نرم‌افزار تجاری فلونت انجام شده است. همچنین برای حل میدان جریان از روش دینامیک سیالات محاسباتی براساس مدل آشفتگی $k-\omega$ SST استفاده شده است. در اعتبارسنجی انجام شده، شبیه‌سازی حاضر توانست مطابقت مقبولی با نتایج آزمایشگاهی داشته باشد. در این پژوهش عملکرد توربین در سرعت‌های نوک پره مختلف بررسی شد که باتوجه به نتایج، حداکثر ضریب توان به دست آمده برابر $0/00299$ در سرعت نوک پره $0/644$ اتفاق افتاده است و مقدار توان متناظر تولیدی در حدود $61/81$ وات است.

واژه‌های کلیدی انرژی باد، توربین بادی داریوس، دینامیک سیال محاسباتی، بزرگراه یک طرفه.

مقدمه

امروزه میزان استفاده از انرژی‌های تجدیدپذیر در دنیا افزایش یافته است، به طوری که انرژی بادی ذخیره شده جهانی از سال ۲۰۰۱ تا سال ۲۰۱۷، ۲۳ برابر شده است [1]. این افزایش گویای این است که اهمیت بهره‌برداری از انرژی‌های تجدیدپذیر روزبه‌روز در میان کشورهای مختلف افزایش یافته است. یکی از انرژی‌های تجدیدپذیر که امروزه به یکی از مباحث پرکاربرد در میان محققان رواج پیدا کرده است، انرژی بادی است که این انرژی درحقیقت با ایجاد اختلاف دما بین ۲ قسمت از کره زمین، در اثر تابش خورشید به وجود می‌آید. برای بهره‌برداری از انرژی باد، توربین‌های بادی مختلفی از لحاظ کاربرد و شکل ظاهری به وجود آمده‌اند. به طوری که تحقیقات زیادی در زمینه آزمایشگاهی و

عددی برای بهینه‌سازی توربین‌های بادی در سال‌های گذشته انجام شده است. همان‌طور که در شکل (۱) ملاحظه می‌شود، باتوجه به اهمیت بهره‌برداری از انرژی بادی، روزبه‌روز استفاده از توربین‌های بادی افزایش پیدا می‌کند.

توربین‌های بادی از نقطه نظر راستای چرخش محور دورانشان به ۲ نوع کلی توربین‌های محور افقی و محور عمودی تقسیم‌بندی می‌شود [2]. در توربین‌های بادی محور افقی، محور دوران موازی سطح زمین است، درحالی که در توربین‌های محور عمودی، راستای محور دوران عمود بر سطح زمین است. توربین‌های محور عمودی خود به ۲ دسته کلی توربین‌هایی براساس نیروی لیفت (داریوس) و برپایه نیروی درگ (ساوینیوس) نیز تقسیم‌بندی می‌شوند.

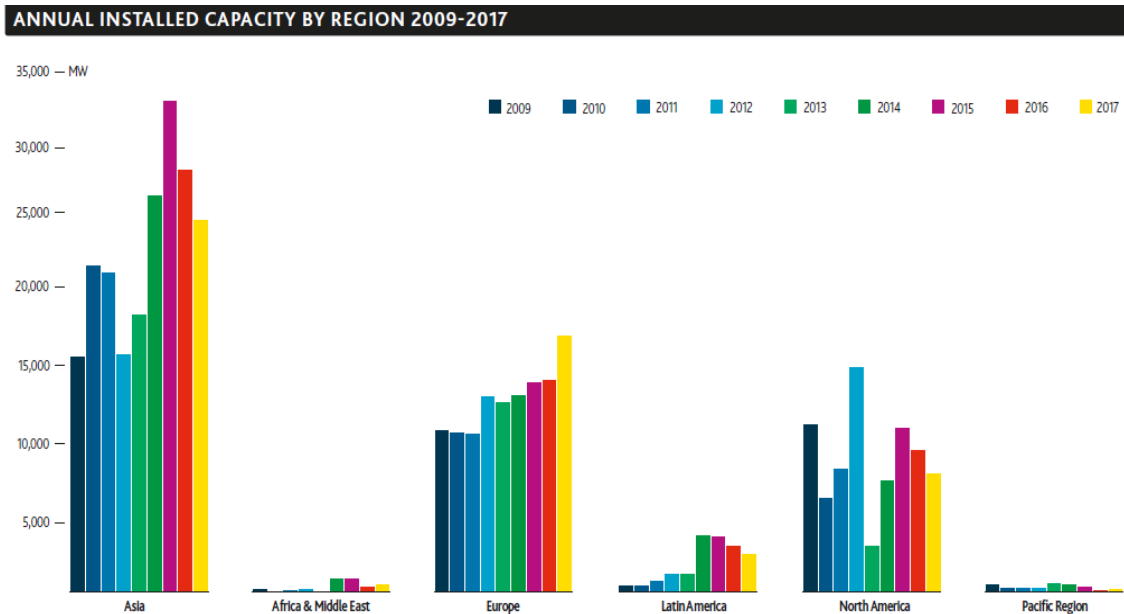
DOI: 10.22067/jacsm.2021.56298.0

* تاریخ دریافت مقاله ۹۸/۹/۲۹ و تاریخ پذیرش آن ۹۹/۸/۲۵ می‌باشد.

(۱) دانشجوی کارشناسی ارشد، دانشکده مهندسی مکانیک، دانشگاه فردوسی مشهد.

(۲) نویسنده مسئول، استاد، دانشکده مهندسی مکانیک، دانشگاه فردوسی مشهد.

Email: mjmaghrebi@um.ac.ir



شکل ۱. میزان ظرفیت بادی نصب شده از سال ۲۰۰۱ تا سال ۲۰۱۷ [3]

موضوع جذاب‌تری نسبت به توربین‌های محور افقی به دلیل طراحی ساده، هزینه کم و نگهداری آسان تبدیل شده است [7]. به علاوه در مناطق شهری و مسکونی باد بسیار آشفته و ناپایدار است و با تغییر سریع سرعت و جهت همراه است [8]. در این محیط‌ها توربین‌های محور عمودی دارای مزیت‌های فراوانی نسبت به توربین‌های محور افقی هستند [9]. همچنین محدوده کاری سرعت نوک پره برای توربین‌های محور عمودی در بین ۱/۵ تا ۴ است، در حالی که برای توربین‌های محور افقی این محدوده بین ۶ تا ۱۰ است [10]. حال همین سرعت بالای نوک پره برای توربین‌های محور افقی خطراتی مانند از بین رفتن پره‌ها در پی خواهد داشت [11]. از این رو، در این پژوهش برای محاسبه عملکرد این نوع از توربین‌های بادی در بزرگراه، شبیه‌سازی دوبعدی ارزیابی شده است.

توربین‌های بادی داریوس نسب به توربین‌های بادی ساونیوس معایب و مزایا دارند که از جمله مهم‌ترین مزایای آن می‌توان به بازده بالای آن اشاره کرد، در حالی که ضعف در خودراه‌انداز بودن یکی از معایب

توربین‌های محور عمودی می‌تواند انتخابی مناسب برای تولید انرژی در مقیاس‌های کوچک به شمار آید [4]. به طور کلی توربین‌های محور عمودی دارای مزایا و معایبی نسبت به توربین‌های محور افقی است. به عنوان مثال توربین‌های محور عمودی معمولاً در نزدیکی سطح زمین نصب می‌شوند، در نتیجه نصب و نگهداری تجهیزات سنگین این نوع از توربین‌ها مانند ژنراتور و جعبه‌دنده آسان‌تر می‌شود، ولی مشکلی که وجود دارد این است که در نزدیکی سطح زمین باد با سرعت کمتری به ارتفاعات وزیده می‌شود. پس مقدار انرژی دریافتی توربین‌های محور عمودی کمتر از محور افقی است [5]. مزیت دیگر توربین‌های محور عمودی نسبت به توربین‌های محور افقی، نیاز نداشتن به مکانیزمی برای تشخیص جهت وزش باد است که در نتیجه این نوع از توربین‌ها می‌توانند باد را از هر جهتی دریافت کنند، ولی این مزیت با چندین محدودیت همراه است، مانند تغییر قدرت خروجی با زمان به علت تغییر در توان یک پره در یک دور چرخش کامل [6].

علاوه بر این، توربین‌های محور عمودی رفته‌رفته به

نوع ساونیوس است، می توان در مناطق مسکونی و حتی در مناطق دوردست مانند پمپ بنزین ها برای تأمین برق استفاده شود. باتوجه به نتایج، سیستم پیشنهادی دارای راندمان و قابلیت اطمینال مقبولی است. علاوه بر بررسی توربین های بادی بر روی پشت بام ها و مناطق دیگر، بررسی توربین های بادی در کنار ریل قطار هم می توانست موضوعی برای بحث در میان محققان باشد. از این رو بتی و همکاران [19] به شبیه سازی توربین محور عمودی از نوع ساونیوس در کنار قطار با استفاده از روش دینامیک سیالات محاسباتی با بهره گیری از نرم افزار این فوم پرداختند. باتوجه به اینکه توربین ساونیوس شکل در این شبیه سازی با شکست روبه رو شد، آن ها مدل جدیدی از توربین ساونیوس ارائه و به بهینه سازی قطر و فاصله قرارگیری توربین نسبت به قطار پرداختند. باتوجه به نتایج می توان از انرژی الکتریکی تولید شده توربین برای روشنایی برق چراغ های تول کمک گرفت. بررسی قابلیت استخراج از انرژی به وجود آمده از حرکت اتومبیل ها در بزرگراه ها، در سال های گذشته در مرکز توجه بعضی محققان قرار گرفته است. خالد و همکاران [20] روند اتلاف انرژی حاصل از درگ اتومبیل را در جاده ها پژوهش کردند و ایده جدیدی برای استفاده از توربین محور عمودی برای استخراج انرژی هدررفتی که اتومبیل ایجاد می کرد، پیشنهاد کردند. موسی و همکاران [21] برای ارزیابی انرژی جنبشی تولید شده اتومبیل در بزرگراه، مدل سه بعدی شکل احمد را مدل سازی کردند و توانستند رفتار جریان حول اتومبیل در بزرگراه را پیش بینی کنند. با در نظر گرفتن اینکه در طول سال بادهای موسمی تغییر می کنند، بررسی این تأثیرات بر عملکرد توربین بادی در بزرگراه از اهمیت برخوردار است. از این رو، سانتاکومار و همکاران [22] به بررسی عملکرد توربین ساونیوس در بزرگراه چهارلایه پرداختند. باتوجه به نتایج حاصل شده، سرعت چرخش توربین ممکن است تا ۶۴ درصد افزایش یابد. تیان و همکاران [23-25] برای محاسبه مقدار انرژی

توربین داریوس است. از این رو، تحقیقات فراوانی برای رفع این مشکل و افزایش کارایی توربین های داریوس انجام شده است. راستی و همکاران [12] روش های متفاوتی برای بررسی خودراه اندازی توربین داریوس ارزیابی شدند و توانستند تأثیرات مثبتی را بر روی خودراه انداز بودن این نوع توربین مشاهده کنند. محمد و همکاران [13] ۲۵ نوع مختلف ایرفویل را برای بهینه سازی توان خروجی بررسی کردند و با استفاده از روش دینامیک سیالات محاسباتی، افزایش ضریب توان ۱۶ درصدی را پیش بینی کردند. حسینی و گودرزی [14] برای افزایش قابلیت خودراه اندازی و محدوده کاری، مدل جدیدی از توربین بادی محور عمودی را که ترکیبی از توربین داریوس و مدل بچ است، به صورت عددی ارزیابی کردند. همچنین بررسی هایی برای تأثیر زاویه گام پره بر عملکرد توربین بادی داریوس انجام شده است [۱۶ و ۱۵].

در جهان امروز توربین های بادی، دیگر مانند گذشته فقط در مزارع استفاده نمی شوند، بلکه در فضاها و مکان های مختلفی نیز برای بهره برداری از انرژی باد استفاده می شوند. توربین های بادی به ویژه توربین های بادی محور عمودی باتوجه به اندازه کوچک آن ها نسبت به توربین های محور افقی، قابلیت نصب در بالای پشت بام ها، کنار ریل قطار، در مجاورت بزرگراه ها و... را دارند. علاوه بر این، تحقیقاتی در زمینه عملکرد این نوع توربین ها در این مکان ها طی سال ها انجام شده است. ژو و همکاران [17] طرح جدیدی از توربین بادی محور عمودی همراه با پره های V شکل پیشنهاد کردند و برای بررسی عملکرد این توربین، شبیه سازی دوبعدی انجام دادند. آن ها باتوجه به نتایج به دست آمده از این شبیه سازی، به این مطلب پی بردند که می شود با پره های راهنما سرعت باد را تا ۴۴ درصد افزایش داد. همچنین بلمیلی و همکاران [18] وسیله ای را که از ۳ جزء تشکیل شده بود، برای بهره برداری از انرژی تجدیدپذیر پیشنهاد کردند. این وسیله که دارای یک توربین محور عمود از

مرزی با گرادیان فشار معکوس در مدل $k - \varepsilon$ پیشنهاد شده است. این مدل از مدل $k - \varepsilon$ استاندارد برای محاسبه خواص جریان در قسمت جریان آزاد آشفتۀ دور از دیوار استفاده می‌کند و همچنین در مناطق نزدیک دیواره از مدل $k - \omega$ بهره می‌گیرد و در عمل همین تغییر حالت دادن از مدل $k - \varepsilon$ به $k - \omega$ و برعکس، باعث برتری این مدل شده است. در مدل $k - \omega$ ، معادله انتقال برای انرژی جنبشی آشفتگی k به صورت زیر تعریف می‌شود [26].

$$\frac{\partial(\rho k)}{\partial t} + \frac{\partial}{\partial x_j}(\rho u_j k) = \frac{\partial}{\partial x_j} \left[\left(\mu + \frac{\mu_t}{\sigma_{k1}} \right) \frac{\partial k}{\partial x_j} \right] + P_k - \beta' \rho \quad (3)$$

که در معادله فوق β' ثابت‌های معادله هستند. حال می‌توان معادله انتقال فرکانس آشفتگی را به صورت زیر تعریف کرد [26]:

$$\frac{\partial(\rho \omega)}{\partial t} + \frac{\partial}{\partial x_j}(\rho u_j \omega) = \frac{\partial}{\partial x_j} \left[\left(\mu + \frac{\mu_t}{\sigma_{\omega 1}} \right) \frac{\partial \omega}{\partial x_j} \right] + \alpha_1 \frac{\omega}{k} P_k - \beta_1 \rho \omega^2 \quad (4)$$

در معادله بالا β_1 ضریب ثابت بوده است. که در روابط بالا P_k به صورت زیر تعریف می‌شود:

$$P_k = \mu_t \left(\frac{\partial u_i}{\partial x_j} + \frac{\partial u_j}{\partial x_i} \frac{\partial u_i}{\partial x_j} - \frac{2}{3} \frac{\partial u_k}{\partial x_k} \left(3 \mu_t \frac{\partial u_k}{\partial x_k} + \rho k \right) \right) \quad (5)$$

ابعاد ناحیه حل و نواحی مرزی

در ابتدا برای شبیه‌سازی توربین در بزرگراه، لازم است برای اعتبارسنجی حل، توربین تحت تأثیر جریان باد ثابت با سرعت ۹ متر بر ثانیه قرار گیرد. از این رو دامنه حل مطابق شکل (۲) طراحی و شبیه‌سازی شده است.

قابل دریافت از حرکت اتومبیل‌ها در بزرگراه، با توربین محور عمودی شبیه‌سازی عددی انجام دادند. آن‌ها علاوه بر بررسی مقدار توان قابل دریافت از اتومبیل داخل بزرگراه، به بررسی سرعت‌های مختلف اتومبیل و همچنین فاصله بین اتومبیل و توربین در بزرگراه پرداختند.

باتوجه به مطالب بیان‌شده، توربین‌های داریوس نسبت به توربین‌های ساوئیوس راندمان بالایی دارند از این رو، در این پژوهش برای محاسبه عملکرد این نوع توربین‌های بادی در بزرگراه، شبیه‌سازی دوبعدی ارزیابی شده است. در ضمن به ارزیابی توربین داریوس چهارپره با پره‌های مستقیم براساس روش دینامیک سیالات محاسباتی و مش متحرک تاکنون پرداخته نشده است.

معادلات حاکم

معادلات حاکم به کار برده شده در این مطالعه به شرح زیر است:

$$\frac{\partial \bar{u}_i}{\partial x_i} = 0 \quad (1)$$

معادله مومنتم:

$$\frac{\partial \bar{u}_i}{\partial t} + \bar{u}_j \frac{\partial \bar{u}_i}{\partial x_j} = \rho g_x - \frac{\partial P}{\partial x_i} + \nu \frac{\partial^2 \bar{u}_i}{\partial x_j^2} - \bar{u}_j \frac{\partial \bar{u}_i}{\partial x_j} + f_i \quad (2)$$

که در این معادلات ρ و ν به ترتیب چگالی هوا و لزجت سینماتیکی است و همچنین \bar{u} و \bar{u} میانگین سرعت و سرعت نوسانی است. همچنین f نمایانگر نیروهای وزنی و P نماینده فشار میانگین است.

مدل آشفتگی $k - \omega$ SST از جمله مدل‌های هیبریدی است که برای پیش‌بینی بهتر جریان در نزدیکی دیواره از ترکیب ۲ مدل بهره می‌گیرد. در عمل این مدل برای رفع مشکل در پیش‌بینی در نزدیکی دیواره در لایه

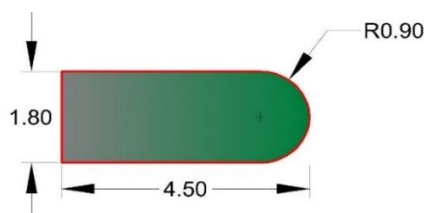
پیشنهاد شده کستلی و همکاران [27] است که در جدول (۱) مشخصات آن نمایش داده شده است.

جدول ۱ مشخصات هندسی توربین

| مقدار | مشخصه |
|----------------|------------------------|
| (متر) ۰/۵۱۵ | شعاع روتور |
| ۳ | تعداد پره |
| ناکا ۰۰۲۱ | نوع پره |
| (متر) ۰/۰۸۵۸ | طول وتر |
| (مترمربع) ۱/۰۳ | مساحت جاروب شده توربین |

ابعاد هندسی اتومبیل

برای شبیه سازی دوبعدی اتومبیل از یک مستطیل و یک نیم دایره استفاده شده است که جزئیات آن در شکل (۴) نشان داده شده است.



شکل ۴ ابعاد هندسی اتومبیل

اعداد بی بعد

اعداد بی بعد تعریف شده در این مطالعه به صورت زیر تعریف می شوند:

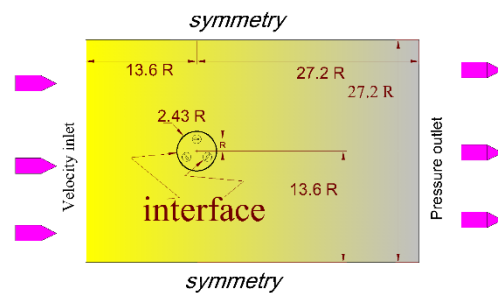
عدد بی بعد سرعت نوک پره:

$$\lambda_t = \frac{r\omega}{V_\infty} \quad (6)$$

که در آن r شعاع روتور و ω سرعت دورانی توربین و V_∞ سرعت جریان ورودی که برابر ۹ متر بر ثانیه است.

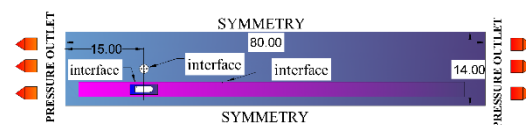
$$C_{pt} = \frac{P}{\frac{1}{2}\rho AV_\infty^3} \quad (7)$$

از پارامتر بی بعد شده ضریب گشتاور و ضریب



شکل ۲ ناحیه حل و شرایط مرزی

سپس ابعادی که برای شبیه سازی توربین در کنار بزرگراه در نظر گرفته شده است، در شکل (۳) نمایش داده شده است. همچنین شرط مرزی فشار خروجی برای ۲ ضلع چپ و راست و شرط مرزی تقارن برای ۲ ضلع پایین و بالا در نظر گرفته شده است. علاوه بر این، شرط مرزی عدم لغزش به پره های توربین و همچنین اتومبیل نسبت داده شده است.



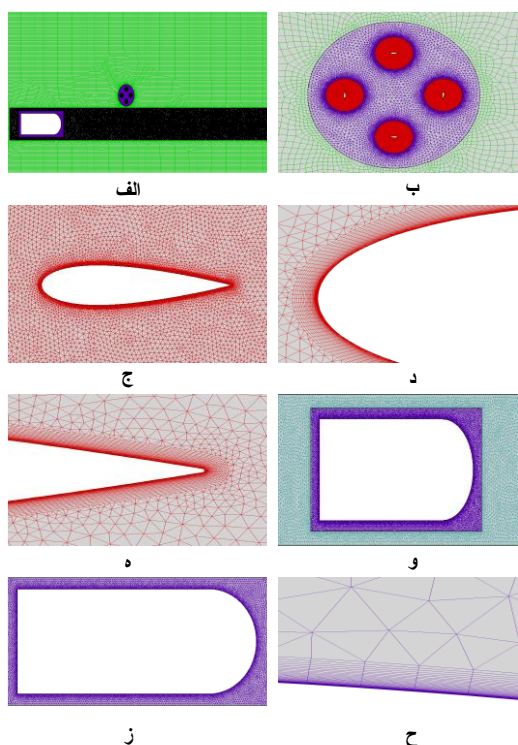
شکل ۳ حوزه حل

به علاوه، در شکل (۲) خطوطی به عنوان صفحه میانی مشاهده می شود که این خطوط در واقع مرز بین ۲ ناحیه مختلف است. ناحیه حل به چندین ناحیه تقسیم می شود که از جمله آن ناحیه ها می توان به ناحیه توربین، ناحیه بزرگراه، ناحیه اطراف اتومبیل و همچنین ناحیه ساکن اشاره کرد. به علاوه، اندازه حوزه حل باید به گونه ای انتخاب شود که اتومبیل با عبور از توربین تا جایی به مسیر خود ادامه دهد که دیگر تأثیر چندانی بر روی توربین نداشته باشد.

مشخصات توربین

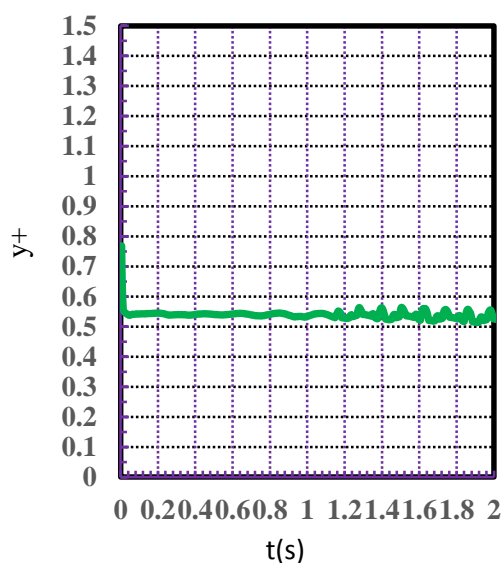
توربین استفاده شده در این پژوهش مشابه توربین

۹۸۰۰۰ و ناحیه اطراف اتومبیل با ۷۱۰۰۰.



شکل ۵ نمایش از مش: الف) کل حوزه حل ب) اطراف توربین ج) اطراف ایرفویل د) لایه مرزی لبه حمله ه) لایه مرزی لبه فرار و) بزرگراه ز) اطراف اتومبیل ح) لایه مرزی اطراف اتومبیل

car



شکل ۶ مقدار y^+ در سطح اتومبیل

توان در این مطالعه استفاده شده است که به صورت زیر تعریف می شود:

$$\lambda = \frac{r\omega}{v} \quad (8)$$

$$C_m = \frac{M}{\frac{1}{2}\rho V^2 A r} \quad (9)$$

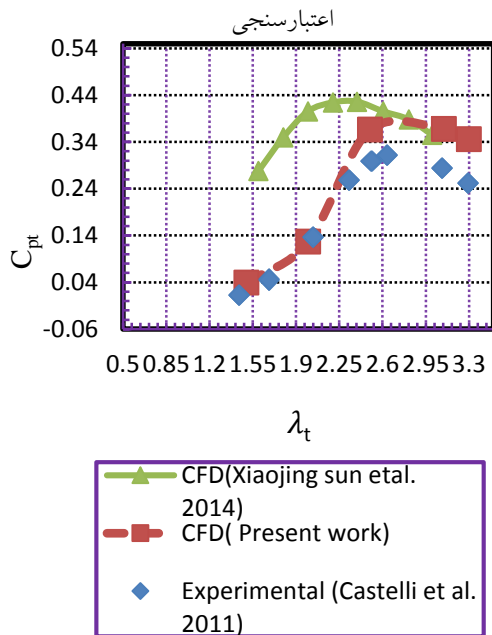
$$C_p = \frac{P}{\frac{1}{2}\rho A V^3} \quad (10)$$

در عبارت بالا V سرعت اتومبیل که برابر ۳۲ متر برثانیه و A مساحت جاروب شده است که باتوجه به دوبعدی بودن شبیه سازی، برابر قطر توربین در نظر گرفته شده است.

شبکه بندی حوزه حل. در شکل (۵) نوع شبکه بندی در هر یک از قسمت های حوزه حل نمایش داده شده است. نکته درخور ملاحظه در شبکه بندی موجود این است که برای نواحی توربین، بزرگراه، اطراف اتومبیل و اطراف پره ها از نوع مش مثلثی و برای ناحیه ثابت از مش مربعی بهره گرفته شده است.

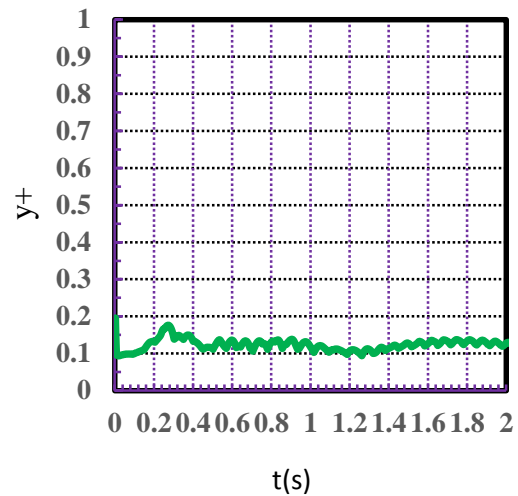
علاوه بر این، باتوجه به اینکه در این پژوهش از مدل توربولانسی $k-\omega$ SST استفاده شده است، باید فاصله بین سطوح از جمله پره ها و اتومبیل تا اولین سلول مش به گونه ای انتخاب شود که مقدار y^+ به زیر عدد یک برسد. به همین دلیل از مش لایه مرزی برای سطوح پره ها و اتومبیل استفاده شده است که در شکل (۵) ملاحظه می شود. نیز به همین علت مقدار حداکثر y^+ برای سطوح ایرفویل و همچنین اتومبیل در شکل های (۶) و (۷) رسم شده است که به وضوح از این اشکال می توان این گونه برداشت کرد که مقدار y^+ در زمان حل برای هر یک از سطوح ایرفویل و اتومبیل به زیر مقدار یک رسیده است. تعداد سلول ها در بخش های مختلف ناحیه حل عبارت اند از: ناحیه ثابت با ۹۶۰۰۰، ناحیه توربین ۳۵۰۰۰، ناحیه هر پره ۹۹۰۰۰، ناحیه بزرگراه

به سزایی ایفا می‌کند. برای اعتبار سنجی توربین حاضر، توربین تحت تأثیر باد ثابت قرار می‌گیرد و پس از به دست آوردن متوسط ضریب گشتاور در هر یک از سرعت‌های نوک پره، ضریب توان با ضریب توان آزمایشگاهی مقایسه خواهد شد. همان‌طور از شکل (۹) ملاحظه می‌شود، حل عددی حاضر مطابقت خوبی با حل تجربی داشته است. همچنین حل عددی حاضر با حل عددی انجام‌شده به وسیله ژیاوچینگ و همکاران [28] مقایسه شده است. همان‌طور که مشاهده می‌شود حل عددی حاضر نسبت به حل عددی نام‌برده شده دارای دقت بالاتری است که دلیل این امر را می‌توان انتخاب نوع مدل آشفتگی در نظر گرفته شده دانست. در حل عددی ژیاوچینگ و همکاران [28] از مدل آشفتگی Spalart-Allmaras استفاده شده است. این در حالی است که در مطالعه حاضر از مدل آشفتگی $k-\omega$ SST استفاده شده است که این مدل ممکن است نسبت به مدل‌های دیگر، پیش‌بینی دقیق‌تری از عملکرد توربین‌های محور عمودی داشته باشد [29,30].



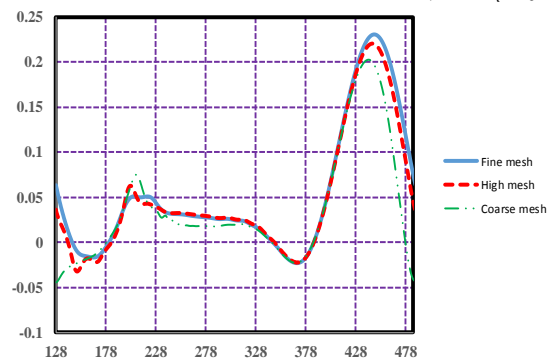
شکل ۹ اعتبارسنجی

Airfoil



شکل ۷ مقدار $y+$ در سطح ایرفویل

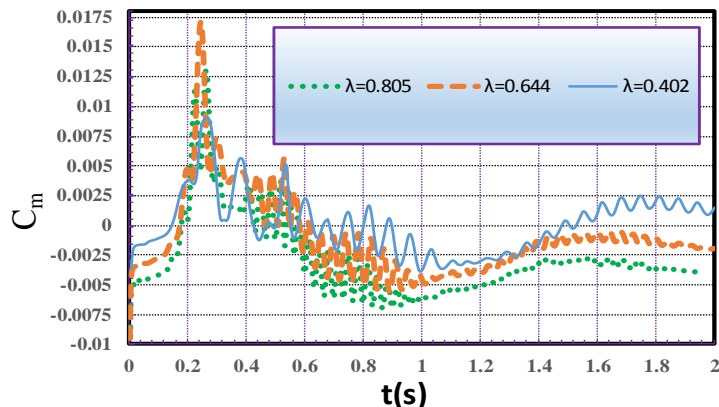
مطالعه استقلال شبکه. قبل از اعتبارسنجی یک مطالعه عددی نیاز است تا استقلال از شبکه در شبیه‌سازی عددی بررسی شود. از این رو، ۳ شبکه بندی مختلف با شبکه‌های ریز، متوسط و درشت بررسی شد که در شکل (۸) نمایش داده شده است. با توجه به شکل، اختلاف نتایج بین شبکه ریز و متوسط اندک بوده، در نتیجه برای صرفه‌جویی در زمان محاسبات و داشتن دقت کافی در شبیه‌سازی شبکه متوسط به عنوان شبکه مرجع انتخاب شده است.



شکل ۸ استقلال از شبکه

اعتبارسنجی

اعتبارسنجی در هر یک از شبیه‌سازی‌های عددی نقش



شکل ۱۰ ضریب گشتاور بر حسب زمان

نتایج

ضریب گشتاور توربین

برای بررسی عملکرد توربین بادی داریوس چهارپره در بزرگراه، ضریب گشتاور توربین در ۳ سرعت نوک پره مختلف بررسی شده که جزئیات آن در شکل (۱۰) نمایش داده شده است. همان‌طور که از شکل (۱۰) پیداست، اولین تغییرات قابل ملاحظه در ضریب گشتاور در ثانیه ۰/۲ رخ می‌دهد و هر ۳ نمودار شکل (۱۰) در حدود ثانیه ۰/۲۵ به حداکثر مقدار خود می‌رسند. باتوجه به ضریب گشتاور هر ۳ سرعت نوک پره بیان شده در شکل (۱۰)، پس از ایجاد مقدار حداکثری در حدود ثانیه ۰/۲۵ ضریب گشتاور شروع به کم شدن می‌کند و پس از ثانیه ۰/۵۷ ضریب گشتاور در بازه کوچکی شروع به نوسان می‌کند. این پدیده به علت تأثیر بسیار ناچیزی است که اتومبیل به دلیل فاصله زیادش بر روی توربین می‌گذارد.

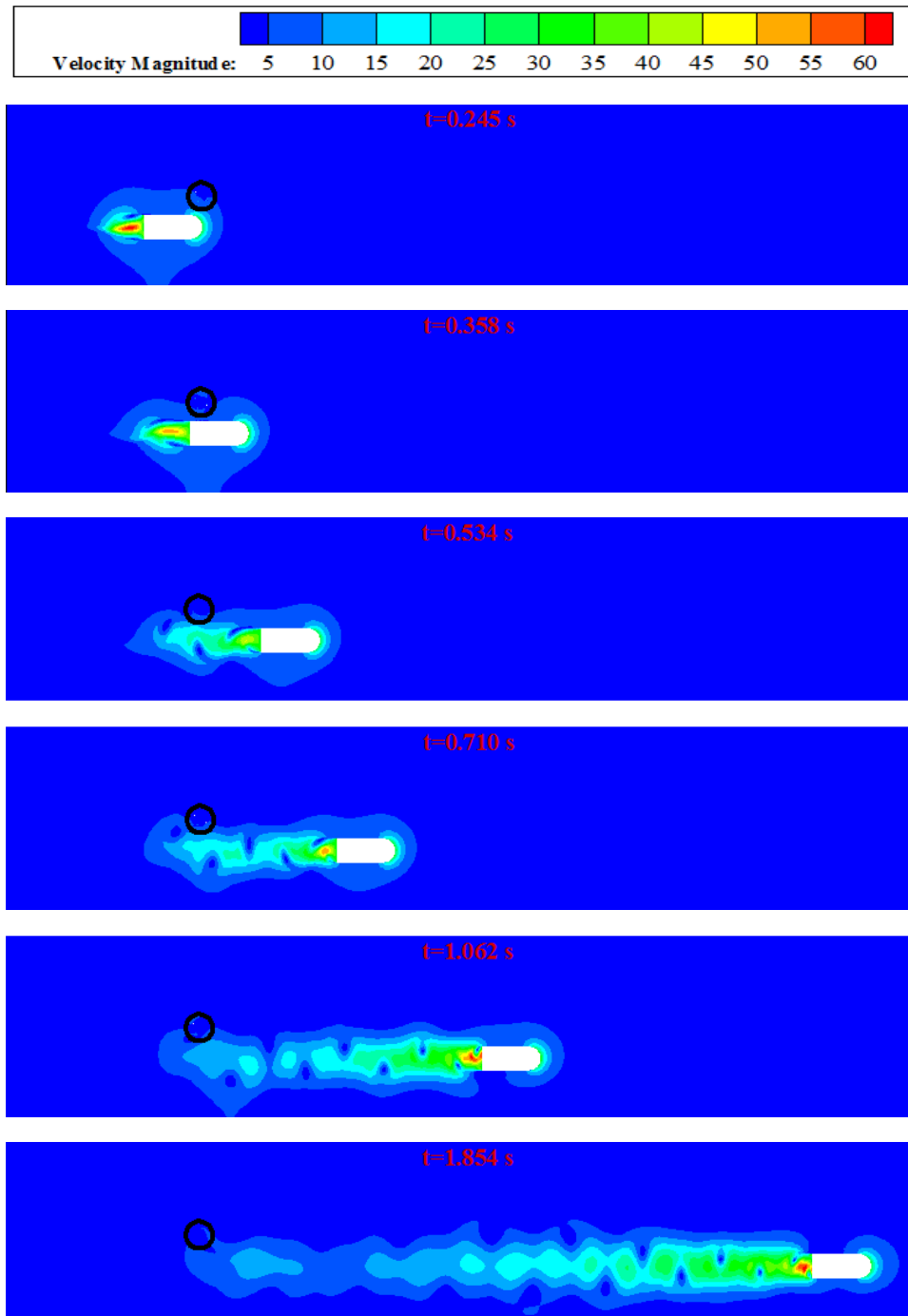
کانتورهای سرعت و ورتیسیته

برای بررسی نحوه جریان ایجاد شده به وسیله اتومبیل و تغییرات این جریان در زمان‌های متفاوت، کانتورهای سرعت در زمان‌های متفاوت در شکل (۱۱) نمایش داده شده است. همان‌طور که در شکل (۱۱) ملاحظه می‌شود

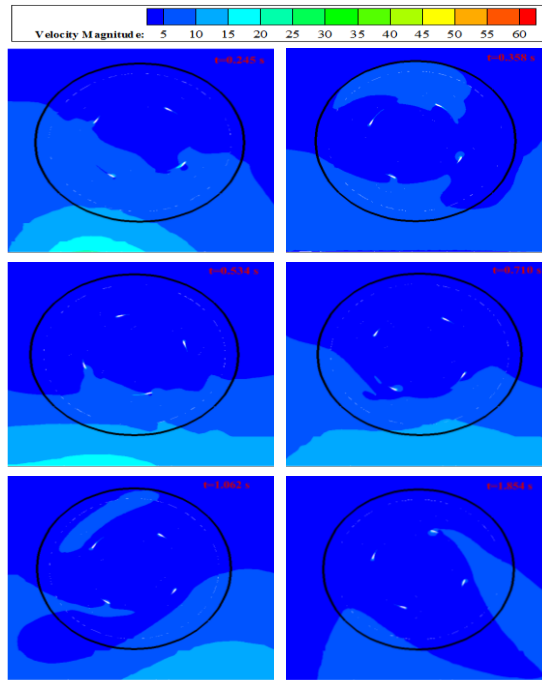
در ابتدا توربین تحت تأثیر ناحیه جلو اتومبیل قرار می‌گیرد، سپس تحت تأثیر پشت اتومبیل. رفته رفته اتومبیل از توربین دور می‌شود و تأثیر اتومبیل بر توربین کمتر می‌شود تا اینکه دیگر تأثیر چندانی بر روی توربین نخواهد گذاشت. نکته مهم دیگر که در شکل (۱۱) دیده می‌شود، گردابه‌هایی است که در پشت اتومبیل به وجود می‌آید. این گردابه‌ها تأثیر بسزایی بر عملکرد توربین خواهند گذاشت. همچنین می‌توان مشاهده کرد که در شکل (۱۱) با دور شدن اتومبیل از توربین، این گردابه‌ها شروع به اضمحلال می‌کنند و در نتیجه بعد از مدتی، دیگر اتومبیل تأثیر چندانی بر روی توربین نخواهد گذاشت. همچنین باتوجه به شکل (۱۲) می‌توان دریافت که با دور شدن اتومبیل از توربین تأثیراتی که ممکن است اتومبیل بر توربین داشته باشد، رفته رفته کم می‌شود.

در شکل (۱۳) نحوه ایجاد و قدرت گردابه‌های در پشت اتومبیل ملاحظه می‌شود. نکته قابل ملاحظه این است که در هنگام حرکت اتومبیل جریان روی ۲ لبه کناری اتومبیل حرکت می‌کند و بعد از رسیدن به پشت اتومبیل، جریان جدا می‌شود و گردابه‌هایی که خلاف جهت هم در چرخش‌اند به وجود می‌آیند. سپس هرچه زمان می‌گذرد، گردابه‌های ایجاد شده در پشت اتومبیل بیشتر می‌شود. اما با دور شدن اتومبیل از توربین، قدرت

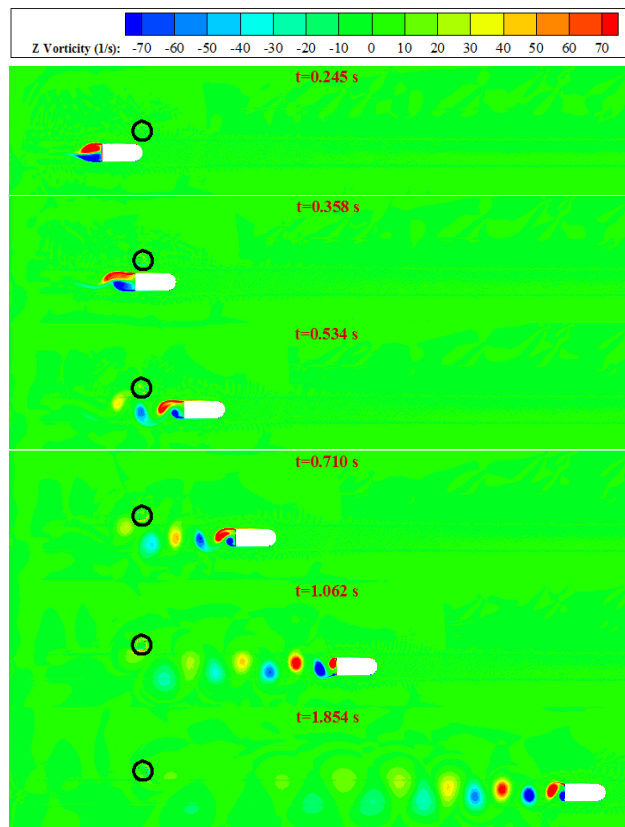
گردابه‌هایی که به توربین برخورد می‌کند کمتر می‌شود. پس قاعدتا تأثیری که ممکن است اتومبیل بر توربین بگذارد، کمتر می‌شود که می‌توان به وضوح در شکل (۱۰) این کاهش تأثیر را دید.



شکل ۱۱ کانتور سرعت در زمان‌های متفاوت

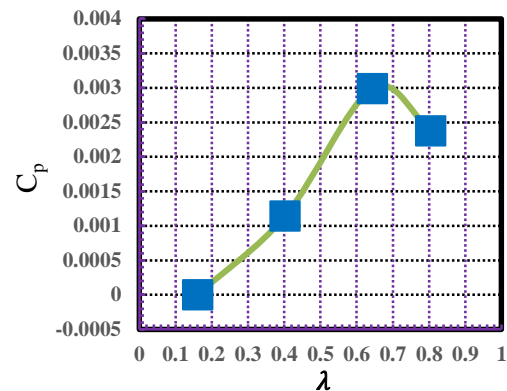


شکل ۱۲ کانتور سرعت در اطراف توربین در زمان‌های متفاوت



شکل ۱۳ کانتور ورتیسیتهی در زمان‌های متفاوت

| | |
|------------|--------------------------|
| Car | اتومبیل |
| Airfoil | بالواره |
| y^+ | فاصله بدون بعد تا دیواره |
| C_m | ضریب گشتاور |
| C_p | ضریب توان |
| V | سرعت اتومبیل |
| \bar{u} | سرعت متوسط زمانی |
| k | انرژی جنبشی آشفته |
| P_k | تولید انرژی جنبشی آشفته |
| ν | لزجت سینماتیکی |
| μ_t | لزجت ادی |
| ρ | چگالی |
| λ | سرعت نوک پره |
| ω | سرعت زاویه‌ای |
| V_∞ | سرعت ورودی |
| Z | ورتیسیتیه |



شکل ۱۴ ضریب توان برحسب سرعت زاویه‌ای توربین

بحث و نتیجه گیری

برای ارزیابی عملکرد توربین میانگین ضریب توان در ۴ سرعت نوک پره مختلف در بازه زمانی ۰/۲ تا ۰/۵۷ در شکل (۱۴) نمایش داده شده است.

واژه نامه

| | |
|-----------------------------|-----------------|
| SST(Shear Stress Transport) | انتقال تنش برشی |
| Symmetry | متقارن |
| Velocity inlet | سرعت ورودی |
| Pressure outlet | فشار خروجی |
| Interface | مرز میانی |

تشکر و قدردانی

بخشی از محاسبات این تحقیق در مرکز محاسبات سنگین دانشگاه فردوسی مشهد انجام شد که بدین وسیله تشکر می‌شود.

مراجع

1. GWEC. Global Wind Energy Council (GWEC), https://gwec.net/wp-content/uploads/vip/GWEC_PRstats2017_EN-003_FINAL.pdf, (2017).
2. Pearson, C., "Vertical axis wind turbine acoustics", Doctoral dissertation, University of Cambridge, (2014).
3. Council, G. W. E., Global Wind Report 2017-Annual Market Update. (2017). https://gwec.net/wp-content/uploads/vip/GWEC_PRstats2017_EN-003_FINAL.pdf
4. Baniassadi, A., Shirinbakhsh, M., and Torabi, F., "Multivariate optimization of off-grid wind turbines

- with variable demand-Case study of a remote commercial building", *Renewable Energy*, Vol. 101, pp. 1021-1029, (2017).
5. Wahab, A., Abas, M., and Saad, N., "Ac Voltage Stabilizer For Wind Powered Application In Malaysia", in International Symp. & Exhibition on Sustainable Energy & Environ, (ISESEE 2006), (2006).
 6. Saad, M. M. M., and Asmuin, N., "Comparison of horizontal axis wind turbines and vertical axis wind turbines", *IOSR Journal of Engineering (IOSRJEN)*, Vol. 4(08), pp. 27-30, (2014).
 7. Saeidi, D., Sedaghat, A., Alamdari, P., Alemrajabi, A. A , "Aerodynamic design and economical evaluation of site specific small vertical axis wind turbines", *Applied Energy*, Vol. 101, pp. 765-775, (2013).
 8. Kenjereš, S., de Wildt, S., and Busking, T., "Capturing transient effects in turbulent flows over complex urban areas with passive pollutants", *International Journal of Heat and Fluid Flow*, Vol. 51, pp. 120-137, (2015).
 9. Tjiu, W., Marnoto, T., Mat, S., Hafidz Ruslan, M., Sopian, K., "Darrieus vertical axis wind turbine for power generation I: Assessment of Darrieus VAWT configurations", *Renewable Energy*, Vol. 75, pp. 50-67, (2015).
 10. Paraschivoiu, I., "Wind turbine design: with emphasis on Darrieus concept", Presses inter Polytechnique, (2002).
 11. Seifert, H., Westerhellweg, A., and Kröning, J., "Risk analysis of ice throw from wind turbines", *Boreas*, Vol. 6(9), pp. 2006-01, (2003).
 12. Rossetti, A., and Pavesi, G., "Comparison of different numerical approaches to the study of the H-Darrieus turbines start-up", *Renewable Energy*, Vol. 50, pp. 7-19, (2013).
 13. Mohamed, M. H., Dessoky, A., and Alqurashi, F., "Blade shape effect on the behavior of the H-rotor Darrieus wind turbine", Performance Investigation and Force Analysis, Energy, (2019).
 14. Hosseini, A., and Goudarzi, N., "Design and CFD study of a hybrid vertical-axis wind turbine by employing a combined Bach-type and H-Darrieus rotor systems", *Energy Conversion and Management*, Vol. 189, pp. 49-59, (2019).
 ۱۵. ساغریچی، امیر و مغربی، محمدجواد و عرب گلارچه، علیرضا، "بررسی جریان و ضریب گشتاور توربین بادی داریوس برحسب تغییرات زاویه گام و نسبت سرعت نوک پره"، <https://civilica.com/doc/791618>، (۱۳۹۵).
 ۱۶. ساغریچی، امیر و مغربی، محمدجواد و عرب گلارچه، علیرضا، "بررسی عددی تأثیر زاویه گام‌های ثابت و متغیر پره بر واماندگی دینامیکی جریان حول پره توربین بادی داریوس"، <https://civilica.com/doc/911971>، (۱۳۹۵).
 17. Zhou, H., Lu, Y., Liu, X., Chang, R., Wang, B., "Harvesting wind Energy in low-rise residential buildings: Design and optimization of building forms", *Journal of Cleaner Production*, Vol. 167, pp. 306-316, (2017).

18. Belmili, H., Cheikh, R., Smail, T., Seddaoui, N., Biara, R.W., "Study, design and manufacturing of hybrid vertical axis Savonius wind turbine for urban architecture", *Energy Procedia*, Vol. 136, pp. 330-335, (2017).
19. Bethi, R.V., Laws, P., Kumar, P., Mitra, S., "Modified Savonius wind turbine for harvesting wind energy from trains moving in tunnels", *Renewable Energy*, Vol. 135, pp. 1056-1063, (2019).
20. Saqr, K. M., and Musa, M. N., "A perspective of the Malaysian highway energy consumption and future power supply", *Energy Policy*, Vol. 39(6), pp. 3873-3877, (2011).
21. Musa, N., Osman, K., and Hamat, A. M. A., "Renewable Energy from Induced Airflow Generated by Cruising Ground Vehicles in Tandem using RANS", *Energy Procedia*, Vol. 14, pp. 1877-1882, (2012).
22. Santhakumar, S., Palanivel, I., and Venkatasubramanian, K., "A study on the rotational behaviour of a Savonius Wind turbine in low rise highways during different monsoons", *Energy for Sustainable Development*, Vol. 40, pp. 1-10, (2017).
23. Tian, W., Mao, Z., An, X., Zhang, B., Wen, H., "Numerical study of energy recovery from the wakes of moving vehicles on highways by using a vertical axis wind turbine", *Energy*, Vol. 141, pp. 715-728, (2017).
24. Tian, W., Song, B., and Mao, Z., "Numerical investigation of wind turbines and turbine arrays on highways", *Renewable Energy*, Vol. 147, pp. 384-398, (2020).
25. Tian, W., Mao, Z., and Li, Y., "Numerical Simulations of a VAWT in the Wake of a Moving Car", *Energies*, Vol. 10(4), pp. 478, (2017).
26. Kaewbumrung, M., Tangsopa, W., and Thongsri, J., "Investigation of the Trailing Edge Modification Effect on Compressor Blade Aerodynamics Using SST k- ω Turbulence Model", *Aerospace*, Vol. 6(4), pp. 48, (2019).
27. Raciti Castelli, M., Englaro, A., and Benini, E., "The Darrieus wind turbine: Proposal for a new performance prediction model based on CFD", *Energy*, Vol.36 (8), pp. 4919-4934, (2011).
28. Sun, X., Wang, Y., An, Q., Cao, Y., Wu, G., "Aerodynamic performance and characteristic of vortex structures for Darrieus wind turbine", *I. Numerical Method and Aerodynamic Performance. Journal of Renewable and Sustainable Energy*, Vol. 6(4), pp. 043134, (2014).
29. Hassan, G. E., Hassan, A., and Youssef, M. E., "Numerical investigation of medium range re numbers aerodynamics characteristics for naca0018 airfoil", *CFD letters*, Vol. 6(4), pp. 175-187, (2015).
30. Wafula, D., Wang, C., Wei, Y., N.Kamau, J., A, Louis., M.Danao., , "A numerical analysis of unsteady inflow wind for site specific vertical axis wind turbine", *Rew Energy*, Vol. 76, pp. 648-661, (2015).

Numerical Investigation of Darrieus Wind Turbine Near a One-Way Highway

Sadegh Toudarbari¹ Mohamad Javad Maghrebi²

1. Introduction

Nowadays, wind turbines is a controversial subject among researchers. Wind turbines, based on the rotational axis direction, are separated into horizontal axis wind turbines and vertical axis wind turbines. In the horizontal axis wind turbine type, the rotational axis is parallel with the earth, and in the vertical axis wind turbine, the rotational axis is perpendicular to the earth surface. The vertical axis wind turbines are desirable choices for urban areas. The vertical axis wind turbines could be used in several places such as at the top of the roof, beside railways and highways. Many studies have been conducted to investigate the operation of these turbines on the highway for harnessing the energy which is stored in the wake of vehicles. The vertical axis wind turbine is separated into two different types for instance drag-based (Savonius) and lift-based (Darrieus). Darrieus wind turbines have high efficiency in comparison with Savonius wind turbines. On the contrary, Darrieus wind turbines are weak in self-starting capability in comparison with Savonius wind turbines.

In this study, the operation of Darrieus wind turbine on the one-way highway was measured by simulating the turbine beside the highway. The CFD method is used by utilizing the URANS method. In order to model the rotation of the turbine, the sliding mesh method was used. Moreover, the dynamic mesh technique was applied to simulate the vehicle movement. First of all, mesh independency was evaluated. After that, the validation of the present work was performed. Furthermore, the effect of the vehicle on the turbine was assessed at different tip speed ratios.

2. Case Study

Specifications of the 4-blade Darrieus wind turbine which is considered in this study are shown in Table 1.

Table 1. Turbine specifications

| Feature | Value |
|-----------------------------|-----------|
| Radius of the rotor (R) [m] | 0.515 |
| Number of blades | 4 |
| Blade profile | NACA 0021 |
| Swept area [m^2] | 1.03 |
| Blade chord [m] | 0.0858 |

The computational domain and boundary conditions that was applied in this simulation is shown in Figure 1.

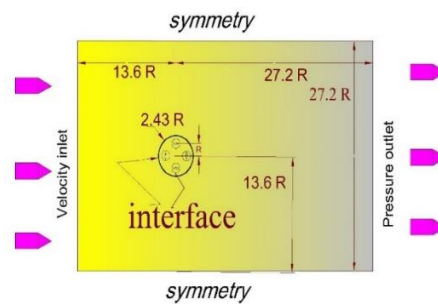


Figure 1. Computational domain

3. Mesh Independency and Validation

In the numerical simulation, the mesh independency plays a substantial role in time in terms of time-consuming and of results accuracy. Therefore, the mesh independency should be prepared. The mesh independency is illustrated in Figure 2. Consequently, in order to decrease the time solution and enhance the outcome accuracy the fine mesh was selected for simulations.

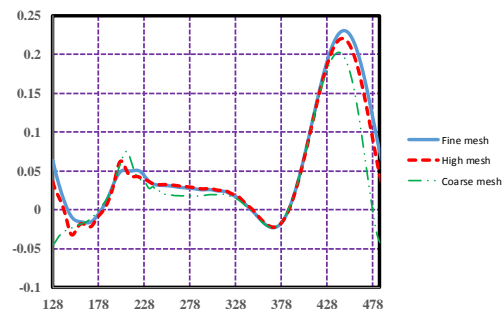


Figure 2. Mesh independency

¹ M.Sc., Department of Mechanical Engineering, Ferdowsi University of Mashhad.

² Corresponding Author: Professor, Department of Mechanical Engineering, Ferdowsi University of Mashhad.
E-mail: mjmaghrebi@um.ac.ir .

The domain (Figure 1) is used to validate the numerical simulation. Power coefficients of the present study were compared with experimental outcomes that were created by Raciti Castili. The validation is shown in Figure 3. As Figure 3 shows, the results of the present study are in line with experimental results.

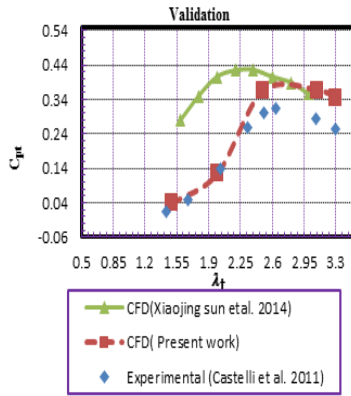


Figure 3. Validation

4. Computational Domain

In the next stage, the turbine beside a highway was simulated. The proposed computational domain is shown in Figure 4. For the purpose of simulating the rotation of the turbine and vehicle movement, the sliding mesh and dynamic mesh technique were used, respectively. The velocity of the vehicle is 32 meter per second.

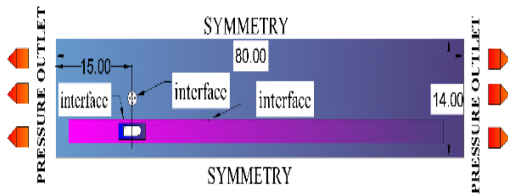


Figure 4. Computational domain and boundary conditions

5. Results

For the aim of evaluating the turbine performance on the highway, the torque coefficient of the turbine against the time at several tip speed ratios were examined according Figure 5. According to Figure 5, the turbine torque coefficient at $\lambda = 0.644$ has a better operation compared to the other tip speed ratios.

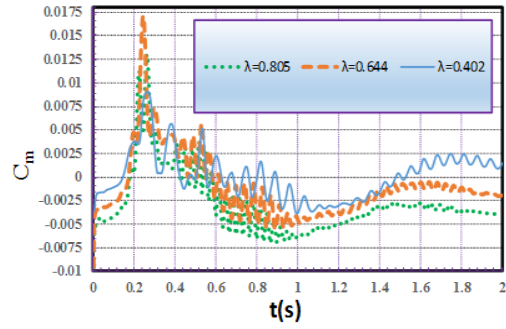


Figure 5. Torque coefficient against time

6. Conclusion

The mean power coefficient of the turbine versus tip speed ratios is demonstrated in Figure 6. As Figure 6 shows, the power coefficient of the turbine has a rising trend firstly and after the power coefficient touches the maximum value at $\lambda = 0.644$ the trend of the power coefficient starts to decline. Consequently, the optimum tip speed ratio is $\lambda = 0.644$ in which the power coefficient is maximum.

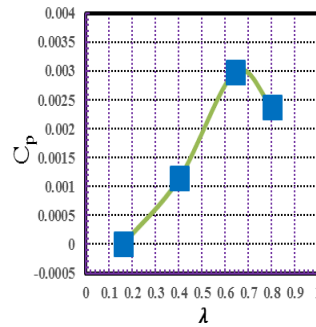


Figure 6. Power coefficient against time